

## สารบัญ

	หน้า
ใบรับรองโครงการวิศวกรรมเครื่องกล	ก
บทคัดย่อ	ข
Abstract	ค
กิตติกรรมประกาศ	ง
สารบัญ	จ
สารบัญตาราง	ช
สารบัญรูปภาพ	ซ
ลำดับสัญลักษณ์	ฅ
บทที่ 1 บทนำ	
1.1 ที่มาและความสำคัญของ โครงการงาน	1
1.2 วัตถุประสงค์ของ โครงการงาน	1
1.3 ขอบเขต	2
1.4 ขั้นตอนการดำเนินงานของ โครงการงาน	2
1.5 ประโยชน์ที่คาดว่าจะได้รับ	3
1.6 งบประมาณที่ใช้	3
บทที่ 2 หลักการและทฤษฎี	
2.1 ไบมีดจอบหมุนพรวนดิน	4
2.2 สเตรนเกจ เครื่องมือวัดแรงและ โมเมนต์	8
บทที่ 3 การออกแบบสร้างอุปกรณ์ทดลองแลเครื่องมือวัด	
3.1 การออกแบบและการสร้างชุดทดลองกระบะทรายแห้ง	16
3.2 ลักษณะของ DEOR ที่ใช้ในการทดลอง	25
บทที่ 4 การสอบเทียบเครื่องมือวัดและการทดลอง	
4.1 ระบบเก็บข้อมูล	27
4.2 วิธีการสอบเทียบ DEOR	28
4.3 Proximity switch	36
4.4 การปรับตั้งรอบหมุนของไบมีด	37
4.5 ลักษณะของไบมีดที่ใช้ในการทดลอง	38
4.6 องศาการหมุนของไบมีดที่ตัดดิน	41

## สารบัญ (ต่อ)

	หน้า
4.7 การออกแบบการทดลอง	41
4.8 วิธีการทดลอง	41
บทที่ 5 ผลการทดลองและวิเคราะห์ผล	
5.1 การตรวจพินิจลักษณะแรงต้านทานลัทธิที่มีผลต่อการเสีกรอของใบมีด	45
5.2 ผลการทดลอง	46
5.3 วิเคราะห์ผลการทดลอง	60
บทที่ 6 บทสรุป และข้อเสนอแนะ	
6.1 บทสรุป	65
6.2 ปัญหาที่พบในการทำการทดลอง	65
6.3 ข้อเสนอแนะ	65
เอกสารอ้างอิง	66
ภาคผนวก	
ภาคผนวก ก แบบ (Drawing)	68
ประวัติผู้ดำเนินโครงการ	101

## สารบัญตาราง

ตาราง	หน้า
1.4 ขั้นตอนการดำเนินงานของโครงการ	2
4.1 ความสัมพันธ์ระหว่างความถี่และความเร็วรอบ	37
4.2 เปรียบเทียบลักษณะทางกายภาพ และ ลักษณะของแรงที่กระทำกับ ใบมีดจอบหมุน ทั้ง 2 แบบ	40
4.3 ข้อมูลจำเพาะของ ใบมีดจอบหมุนทั้งสองรูปแบบ	40
4.4 องศาของการหมุนของใบมีดที่ตัดดิน	41



## สารบัญรูปภาพ

รูป	หน้า
2.1 ลักษณะของไบบิตชนิดตัวแอล	4
2.2 ลักษณะของไบบิตแบบผสม	5
2.3 ลักษณะของไบบิตแบบผสม	5
2.4 ลักษณะการเคลื่อนที่ของไบบิต	6
2.5 เทรนเกทที่มีโครงสร้างเป็นโลหะ schematic (ก.) และ actual (ข.)	8
2.6 ลักษณะของ EOR	9
2.7 ลักษณะการเลือกรูปของ EOR เนื่องจากแรง และ โมเมนต์	9
2.8 แสดงลักษณะของ Double Extended Octagonal Ring (DEOR)	10
2.9. (ก.) แสดงทิศทางของแรงกด $F_p$ ที่มีความเครียดมากที่สุดกระทำกับ DEOR	11
(ข.) แสดงทิศทางของแรงเฉือน $F_t$ ที่มีความเครียดมากที่สุดกระทำกับ DEOR	
(ค.) แสดงทิศทางของแรงด้านข้าง $F_x$ ที่มีความเครียดมากที่สุดกระทำกับ DEOR	
2.10 แสดงลักษณะของ Double Extended Octagonal Ring (DEOR)	11
2.11 แสดงวงจรการติดสเตรนเกท	12
2.12 วงจรบริดจ์แบบใช้สเตรนเกท 4 ตัว	13
2.13 วงจร Wheatstone bridge	14
3.1 ชุดต้นกำลัง	16
3.2 มอเตอร์ขับเคลื่อนรถ	18
3.3 ชุดเพลาขับเคลื่อนตัวรถ	18
3.4 การเคลื่อนที่ของตัวรถ	18
3.5 มอเตอร์ขับเคลื่อนไบบิต	20
3.6 ชุดสเตอร์ทศรอบชุดขับเคลื่อนไบบิต	20
3.7 ชุดเพลาขับเคลื่อนไบบิต	21
3.8 กระบะบรรจุทราย	21
3.9 ล่างเลื่อนถังบรรจุทราย	22
3.10 ตัวรถขับเคลื่อนไบบิต	22
3.11 ลูกกลิ้งดันสายพาน	23
3.12 ชุดตั้งโต๊ะ	23

## สารบัญรูปภาพ (ต่อ)

รูป	หน้า
3.13 แสดงการทำงานของชุดตั้งโซ่	24
3.14 สตอร์สำหรับ Proximity switch	24
3.15 ลักษณะของ DEOR	25
3.16 แสดงวงจรการติดสเตรนเกจของ DEOR ที่ใช้ในการทดลอง	25
3.17 ตำแหน่งการติดสเตรนเกจ	26
4.1 ระบบการเก็บข้อมูล	27
4.2 แสดงการสอบเทียบ DEOR	28
4.3 การสอบเทียบแรงกระทำในแนวระดับ	29
4.4 ผลการสอบเทียบแรงกระทำในแนวระดับโดยการเพิ่มน้ำหนักและลดน้ำหนัก	29
4.5 การสอบเทียบแรงกระทำในแนวระดับ	30
4.6 ผลของแรงกระทำในแนวระดับต่อแรงกระทำด้านข้างและแรงในแนวตั้ง	30
4.7 แรงในแนวระดับที่กระทำกับใบมีดจอบหมุนพรวนดินที่องศาต่างๆ	31
4.8 การสอบเทียบแรงกระทำในแนวตั้ง	31
4.9 ผลการสอบเทียบแรงกระทำในแนวตั้งโดยการเพิ่มน้ำหนักและลดน้ำหนัก	32
4.10 การสอบเทียบแรงกระทำในแนวตั้ง	32
4.11 แรงในแนวตั้งที่กระทำกับใบมีดจอบหมุนพรวนดินที่องศาต่างๆ	33
4.12 การสอบเทียบแรงกระทำด้านข้าง	33
4.13 ผลการสอบเทียบแรงกระทำด้านข้างโดยการเพิ่มน้ำหนักและลดน้ำหนัก	34
4.14 การสอบเทียบแรงกระทำด้านข้าง	34
4.15 ผลของแรงกระทำด้านข้างต่อแรงกระทำในแนวตั้งและแรงในแนวระดับ	35
4.16 แรงด้านข้างที่กระทำกับใบมีดจอบหมุนพรวนดินที่องศาต่างๆ	36
4.17 การติดตั้ง Proximity switch	36
4.18 การปรับตั้งรอบหมุนของใบมีด	37
4.19 ลักษณะของใบมีดชนิดตัวแอล	38
4.20 ลักษณะของใบมีดแบบผสม	39
4.21 การติดใบมีดกับ DEOR	41
4.22 การปรับระยะความลึกของใบมีด	42
4.23 การปรับระดับทรายในกระบะให้เรียบสม่ำเสมอ	42

## สารบัญรูปร่าง (ต่อ)

รูป	หน้า
4.24 การปรับตั้งตำแหน่งศูนย์กลางโดยให้ปลายลิกสุดของใบมีดให้ตรงกับศูนย์กลางของเพลานิน แนวระดับ	43
4.25 อุปกรณ์วัดองศาการหมุนของใบมีด	43
4.26 ตั้งรอบของใบมีดให้มีความเร็วรอบตามที่กำหนดโดยใช้ Inverter	43
4.27 จับเวลาจากจุดเริ่มต้นจนถึงจุดสุดท้าย	44
5.1 ลักษณะการลิกหรือของใบมีดแบบผสม (Mixed-blade)	45
5.2 ลักษณะการลิกหรือของใบมีดแบบตัวแอล (L-blade)	45
5.3 แสดงแรงกระทำในแนวระดับ และแรงกระทำด้านข้าง ที่มากระทำกับใบมีดจอบหมุนแบบตัวแอล	46
5.4 แสดงการเปรียบเทียบแรงกระทำแนวระดับที่กระทำกับใบมีดแบบตัวแอล ที่ความลิกของใบมีดเท่ากับ 5 เซนติเมตร ที่ความเร็วรอบ 50 , 60 และ 70 รอบต่อนาที	46
5.5 แสดงการเปรียบเทียบแรงกระทำในแนวระดับที่กระทำกับใบมีดแบบตัวแอลที่ความลิกของใบมีดเท่ากับ 7 เซนติเมตร ที่ความเร็วรอบ 50 , 60 และ 70 รอบต่อนาที	47
5.6 แสดงการเปรียบเทียบแรงกระทำในแนวระดับที่กระทำกับใบมีดแบบตัวแอลที่ความลิกของใบมีดเท่ากับ 9 เซนติเมตร ที่ความเร็วรอบ 50 , 60 และ 70 รอบต่อนาที	47
5.7 แสดงการเปรียบเทียบแรงกระทำในแนวระดับที่กระทำกับใบมีดแบบตัวแอลที่ความเร็วรอบของใบมีดเท่ากับ 50 รอบต่อนาที ที่ความลิกในการตัดทราชของใบมีด 5 , 7 และ 9 เซนติเมตร	48
5.8 แสดงการเปรียบเทียบแรงกระทำในแนวระดับที่กระทำกับใบมีดแบบตัวแอลที่ความเร็ว รอบของใบมีดเท่ากับ 60 รอบต่อนาที ที่ความลิกในการตัดดินของใบมีด 5 , 7 และ 9 เซนติเมตร	49
5.9 แสดงการเปรียบเทียบแรงกระทำในแนวระดับที่กระทำกับใบมีดแบบตัวแอลที่ความเร็วรอบของใบมีดเท่ากับ 70 รอบต่อนาที ที่ความลิกในการตัดดินของใบมีด 5 , 7 และ 9 เซนติเมตร	49

## สารบัญรูปภาพ (ต่อ)

รูป	หน้า
5.10 แสดงการเปรียบเทียบแรงกระทำด้านข้างที่กระทำกับใบมีดแบบตัวแอล ที่ความลึกของใบมีด เท่ากับ 5 เซนติเมตร ที่ความเร็วรอบ 50 , 60 และ 70 รอบต่อนาที	50
5.11 แสดงการเปรียบเทียบแรงกระทำด้านข้างที่กระทำกับใบมีดแบบตัวแอล ที่ความลึกเท่ากับ 7 เซนติเมตร ที่ความเร็วรอบ 50 , 60 และ 70 รอบต่อนาที	51
5.12 แสดงการเปรียบเทียบแรงกระทำด้านข้างที่กระทำกับใบมีดแบบตัวแอลที่ ความลึกของใบมีด เท่ากับ 9 เซนติเมตร ที่ความเร็วรอบ 50 , 60 และ 70 รอบต่อนาที	51
5.13 แสดงการเปรียบเทียบแรงกระทำด้านข้างที่กระทำกับใบมีดแบบตัวแอลที่ ความเร็วรอบของใบมีดเท่ากับ 50 รอบต่อนาที ที่ความลึกในการตัดทราย ของใบมีด 5 , 7 และ 9 เซนติเมตร	52
5.14 แสดงการเปรียบเทียบแรงกระทำด้านข้างที่กระทำกับใบมีดแบบตัวแอลที่ ความเร็วรอบของใบมีดเท่ากับ 60 รอบต่อนาที ที่ความลึกในการตัดทราย ของใบมีด 5 , 7 และ 9 เซนติเมตร	52
5.15 แสดงการเปรียบเทียบแรงกระทำด้านข้างที่กระทำกับใบมีดแบบตัวแอลที่ ความเร็วรอบของใบมีดเท่ากับ 70 รอบต่อนาที ที่ความลึกในการตัดทราย ของใบมีด 5 , 7 และ 9 เซนติเมตร	53
5.16 แสดงการเปรียบเทียบแรงกระทำในแนวระดับที่กระทำกับ ใบมีดแบบผสมที่ ความลึกของใบมีด 5 เซนติเมตร ที่ความเร็วรอบ 50 , 60 และ 70 รอบต่อนาที	54
5.17 แสดงการเปรียบเทียบแรงกระทำในแนวระดับที่กระทำกับใบมีดแบบผสมที่ ความลึกของใบมีด 7 เซนติเมตร ที่ความเร็วรอบ 50 , 60 และ 70 รอบต่อนาที	54
5.18 แสดงการเปรียบเทียบแรงกระทำในแนวระดับที่กระทำกับใบมีดแบบผสมที่ ความลึกของใบมีด 9 เซนติเมตร ที่ความเร็วรอบ 50 , 60 และ 70 รอบต่อนาที	55
5.19 แสดงการเปรียบเทียบแรงกระทำในแนวระดับที่กระทำกับใบมีดแบบผสมที่ ความเร็วรอบของใบมีด 50 รอบต่อนาที ที่ความลึกในการตัดดินของ ใบมีด 5 , 7 และ 9 เซนติเมตร	55

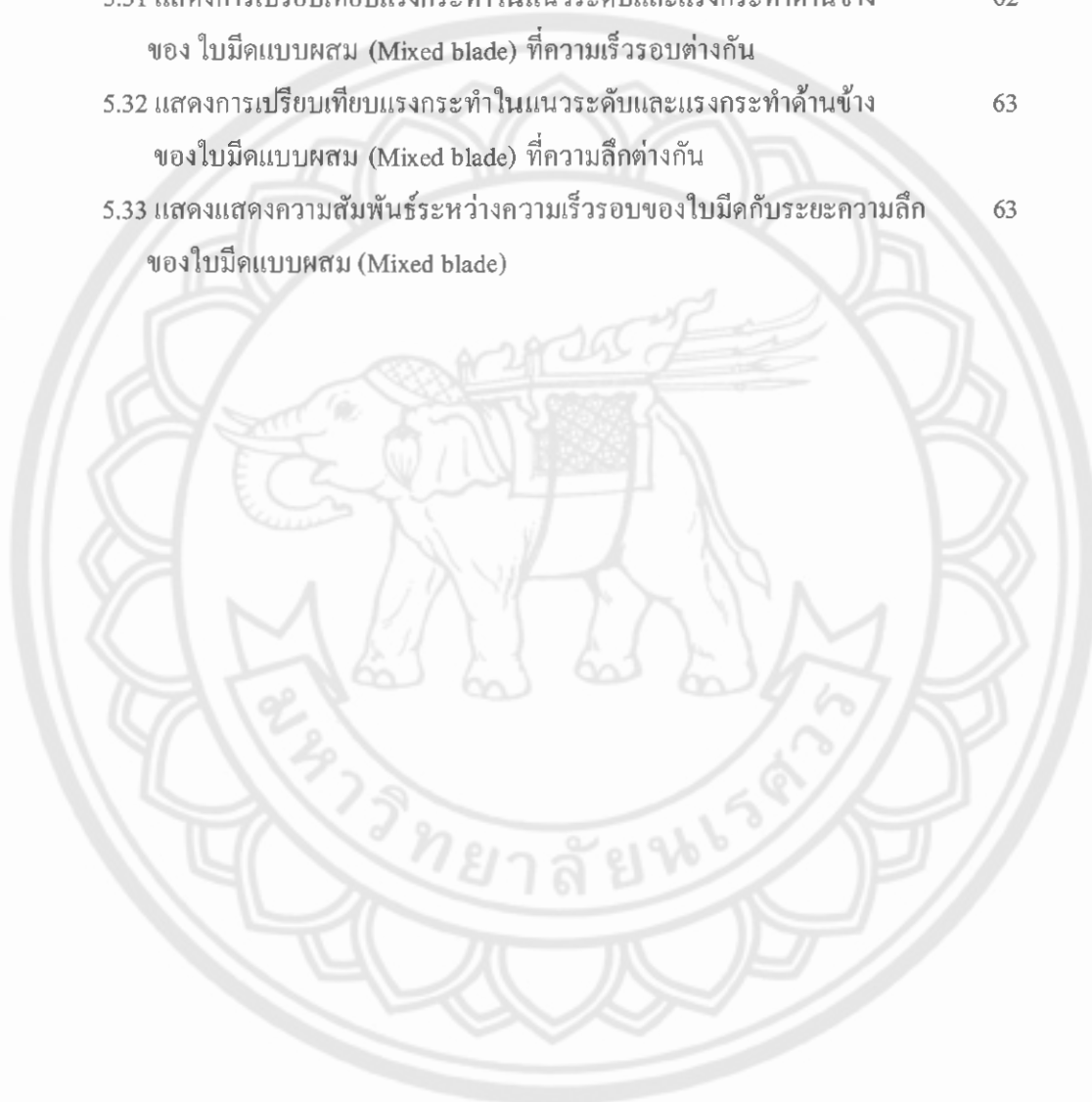
### สารบัญรูปภาพ (ต่อ)

รูป	หน้า
5.20 แสดงการเปรียบเทียบแรงกระทำในแนวระดับที่กระทำกับใบมีดแบบผสมที่ ความเร็วรอบของใบมีด 60 รอบต่อนาที ที่ความลึกในการตัดดินของใบมีด 5 , 7 และ 9 เซนติเมตร	56
5.21 แสดงการเปรียบเทียบแรงกระทำในแนวระดับที่กระทำกับใบมีดแบบผสมที่ ความเร็วรอบของใบมีดเท่ากับ 70 รอบต่อนาที ที่ความลึกในการตัดดินของ ใบมีด 5 , 7 และ 9 เซนติเมตร	56
5.22 แสดงการเปรียบเทียบแรงกระทำด้านข้างที่กระทำกับใบมีดแบบผสมที่ ความลึกของใบมีดเท่ากับ 5 เซนติเมตร ที่ความเร็วรอบ 50 , 60 และ 70 รอบต่อนาที	57
5.23 แสดงการเปรียบเทียบแรงกระทำด้านข้างที่กระทำกับใบมีดแบบผสมที่ ความลึกของใบมีดเท่ากับ 7 เซนติเมตร ที่ความเร็วรอบ 50 , 60 และ 70 รอบต่อนาที	57
5.24 แสดงการเปรียบเทียบแรงกระทำด้านข้างที่กระทำกับใบมีดแบบผสมที่ ความลึกของใบมีดเท่ากับ 9 เซนติเมตร ที่ความเร็วรอบ 50 , 60 และ 70 รอบต่อนาที	58
5.25 แสดงการเปรียบเทียบแรงกระทำด้านข้างที่กระทำกับใบมีดแบบผสมที่ ความเร็วรอบของใบมีดเท่ากับ 50 รอบต่อนาที ที่ความลึกในการตัดดิน ของใบมีด 5 , 7 และ 9 เซนติเมตร	58
5.26 แสดงการเปรียบเทียบแรงกระทำด้านข้างที่กระทำกับใบมีดแบบผสมที่ ความเร็วรอบของใบมีดเท่ากับ 60 รอบต่อนาที ที่ความลึกในการตัดดิน ของใบมีด 5 , 7 และ 9 เซนติเมตร	59
5.27 แสดงการเปรียบเทียบแรงกระทำด้านข้างที่กระทำกับใบมีดแบบผสมที่ ความเร็วรอบของใบมีดเท่ากับ 70 รอบต่อนาที ที่ความลึกในการตัดดินของ ใบมีด 5 , 7 และ 9 เซนติเมตร	59
5.28 แสดงการเปรียบเทียบแรงกระทำในด้านข้างที่กระทำกับใบมีดแบบ ตัวแอล (L-shaped blade) ที่ความเร็วรอบต่างกัน	60
5.29 แสดงการเปรียบเทียบแรงกระทำในด้านข้างที่กระทำกับใบมีดแบบ ตัวแอล (L-shaped blade) ที่ความลึกต่างกัน	61





## สารบัญรูปภาพ (ต่อ)

รูป	หน้า
5.30 แสดงแสดงความสัมพันธ์ระหว่างความเร็วรอบของใบมีดกับ ระยะความลึกของใบมีดแบบตัวแอล (L-shaped blade)	61
5.31 แสดงการเปรียบเทียบแรงกระทำในแนวระดับและแรงกระทำด้านข้าง ของ ใบมีดแบบผสม (Mixed blade) ที่ความเร็วรอบต่างกัน	62
5.32 แสดงการเปรียบเทียบแรงกระทำในแนวระดับและแรงกระทำด้านข้าง ของใบมีดแบบผสม (Mixed blade) ที่ความลึกต่างกัน	63
5.33 แสดงแสดงความสัมพันธ์ระหว่างความเร็วรอบของใบมีดกับระยะความลึก ของใบมีดแบบผสม (Mixed blade)	63



## ลำดับสัญลักษณ์

สัญลักษณ์	ความหมาย	หน่วย
$d$	ระยะความลึกของใบมีดในกระบะทราย	mm
$F_H$	แรงกระทำด้านข้าง	N
$F_s$	แรงกระทำด้านข้าง	N
$I$	กระแสไฟฟ้าที่ไหลผ่านตัวต้านทาน R	Amp ; A
$l$	ระยะจากจุดหมุนถึงเพลลาใบมีด	mm
$n$	ความเร็วรอบหมุนของเพลลาใบมีด	rpm
$R$	รัศมีของใบมีด	m
$R$	ความต้านทานของโลหะ	Ohm ; $\Omega$
$t$	เวลา	s
$v$	ความเร็วในการเคลื่อนที่ไปข้างหน้าของเพลลาใบมีด	m/s
$V$	ความต่างศักย์ไฟฟ้าระหว่างจุด 2 จุด	Volt ; V
$\Delta V$	แรงเคลื่อนไฟฟ้าที่เกิดขึ้นเมื่อมีโมเมนต์ตัดคมกระทำต่อสตรนเกจ	Volt ; V
$\omega$	ความเร็วเชิงมุมของเพลลาใบมีด	rad/s
$X_2$	ค่าที่อ่านได้จาก DEOR	Strain
$X_0$	ค่าที่อ่านได้จาก DEOR	Strain
$Z$	จำนวนใบมีดบนหนึ่งระนาบของเพลลาใบมีด	ใบ
$\xi$	อัตราส่วนระหว่างความเร็วรอบหมุนต่อความเร็วในการเคลื่อนที่ของเพลลา ใบมีด	rpm.s/m
	สตรนเกจที่มีความเครียดเป็นบวก (ยืด)	
	สตรนเกจที่มีความเครียดเป็นลบ (หด)	